

# حل عددی لایه مرزی هیدرودینامیکی و حرارتی

دکتر مجید ملکی

دانشیار دانشکده مهندسی مکانیک، دانشگاه صنعتی اصفهان

مهندس امیرحسین شیروی

فارغ التحصیل کارشناسی ارشد دانشکده مهندسی مکانیک دانشگاه صنعتی اصفهان

چکیده

با استفاده از یک روش عددی، لایه‌های مرزی هیدرودینامیکی و حرارتی در جریان آرام و مغشوش مورد بررسی قرار گرفت. روش حل و برنامه کامپیوتری به نحوی است که می‌توان به کمک آن جریان لایه مرزی در اطراف اجسام متقارن محوری را حل کرد. روش حاضر در مورد جریان آرام و مغشوش روی صفحه تخت به کار برده شد و اثر گرادیان فشار بر نتایج بدست آمده بررسی شد. مقایسه نتایج بدست آمده با حل‌های موجود دقت روش محاسباتی حاضر را مورد تأیید قرار داد.

## A Numerical Solution for the Hydrodynamic and Thermal Boundary Layer

M. Molki, Ph.D.

and

A.H. Shiravi, M.Sc.

Mech. Eng. Dept., Esfahan Univ. of Tech.

### ABSTRACT

A numerical method is employed to solve the hydrodynamic and thermal boundary layer in laminar and turbulent flows. The numerical procedure and computer program used in this study are also able to solve the boundary layer flows over axisymmetric bodies. The numerical procedure is applied to the laminar and turbulent flows over a flat plate and the effect of pressure gradient on the results is investigated. Comparison of the results with the existing solutions confirm the precision of the numerical method.

### فهرست علائم

$\eta$ انتشار دیفیوژن انتالی در واحد سطح درجه $Y$	$c$ یکی از ضرائب شکل کلی معادلات بقاء	$A^+$ ثابت تجربی
$K$ ثابت طول اختلاط	$d$ یکی از ضرائب شکل کلی معادلات بقاء	$A$ یکی از ضرائب معادله کلی تفاضل
$\ell$ طول اختلاط	$f'$ پارامتر بدون بعد در حل دقیق بلازیوس	$a$ یکی از ضرائب شکل کلی معادلات بقاء
$m_1''$ دبی جرمی عبوری از سطح $A$	$f''$ پارامتر بدون بعد در حل دقیق بلازیوس	$B$ یکی از ضرائب معادله کلی تفاضل
$m_2''$ دبی جرمی عبوری از سطح $E$	$h$ انتالی ویژه (بر واحد جرم)	$b$ یکی از ضرائب شکل کلی معادلات بقاء
$P$ فشار	$\tilde{h}$ انتالی سکون ویژه	$C$ یکی از ضرائب معادله کلی تفاضل

فاصله هر نقطه از محور تقارن جسم	$r$	پارامتر بدون بعد در حل دقیق بلازیوس	$\eta$	تابع جریان	$\Psi$
سرعت	$u$	ثابت طول اختلاط	$\lambda$	تابع جریان بدون بعد	$w$
سرعت اغتشاشات	$u'$	ضریب ویسکوزیته آرام	$\mu$	شاخص‌های پائین	
سرعت متوسط زمانی	$\bar{u}$	ضریب ویسکوزیته مؤثر	$\mu_{eff}$	D معرف مقدار در پائین دست	
سرعت جریان آزاد	$u_{\infty}$	ضریب ویسکوزیته سینماتیک	$\nu$	$D^+, D^-$ معرف مقدار در پائین دست در دو خط ثابت مجاور	
$\gamma_1$ یک ضخامت مشخصه لایه		$\rho$ دانسیته سیال		E معرف مقدار در مرز	
علائم یونانی		$\sigma_{h,eff}$ عدد پرانتل مؤثر		معرف مقدار در مرز	
$\delta$ ضخامت لایه مرزی		$\tau$ تنش برشی سیال		U معرف مقدار در بالادست	
		$\phi$ متغیر کلی			

## مقدمه

در علم مکانیک سیالات، انتقال حرارت و انتقال جرم در لایه مرزی از اهمیت ویژه‌ای برخوردار است. تمامی انتقال منتم و حرارتی که در اثر عبور یک سیال از روی یک جسم جامد انجام می‌گیرد در محدوده این لایه اتفاق می‌افتد. وجود ویسکوزیته در سیال حقیقی نخستین عامل بوجود آمدن این لایه است. با افزایش سرعت سیال و بطور کلی ناپایداری در جریان آرام، کم‌کم اغتشاشات ذرات سیال (ادیها) نیز در رشد این لایه مؤثر می‌شوند. تا جایی که گاهی اثر ویسکوزیته در مقایسه با اثر اغتشاشات ذرات سیال ناچیز می‌شود. معادلات بقای منتم و انرژی برای یک لایه مرزی آرام از نوع معادلات دیفرانسیل پاره‌ای است، ولی به دلیل این که تعداد مجهولات با تعداد معادلات برابر است، حل‌های دقیقی برای این نوع جریان بدست آمده است که نمونه آن حل دقیق بلازیوس برای جریان آرام روی صفحه تخت است (۷ ص ۲۵۱ - ۲۵۶). در جریان مغشوش، معمول این است که متغیرهای مختلف به صورت یک مقدار متوسط زمانی به اضافه یک مقدار مربوط به اغتشاشات نوشته شود، که این کار نخستین بار توسط رینولدز انجام شده است (۳ ص ۳۹). به طور مثال سرعت جریان مغشوش به صورت زیر نوشته می‌شود:

$$u = \bar{u} + u' \quad (1)$$

که در آن  $\bar{u}$  سرعت متوسط زمانی و  $u'$  نوسانات سرعت را نشان می‌دهد. به این ترتیب معادلاتی را که از جایگزینی روابط نظیر معادله (۱) در معادلات بقا به دست می‌آیند، معادلات بقا با مقادیر متوسط زمانی می‌مانند. در این جایگزینی، معادله بقای جرم تغییر نمی‌کند، ولی معادلات بقای منتم و انرژی تغییر کرده و عباراتی که معرف اغتشاش جریان هستند وارد معادلات می‌شوند. برای مثال، معادله بقای منتم پس از جایگزینی فوق‌الذکر و اعمال فرضیات ساده‌کننده لایه مرزی به صورت زیر درمی‌آید:

$$\frac{\partial}{\partial x} (\bar{u} u') + \frac{\partial}{\partial y} (\bar{u} v') = \frac{\partial}{\partial y} (\nu \frac{\partial \bar{u}}{\partial y} + \overline{u'v'}) - \frac{1}{\rho} \frac{d\bar{p}}{dx} \quad (2)$$

ملاحظه می‌شود که عبارت  $\overline{u'v'}$ ، که به تنش رینولدز معروف است، به

هدف پروژه حاضر، حل معادلات بقا به کمک یک برنامه جامع کامپیوتری است. روش حل به نحوی است که می‌تواند لایه‌های مرزی هیدرودینامیکی، حرارتی و جرم را حل کند و توزیع سرعت، دما و غلظت جرمی را به دست آورد. در این جا برای سهولت بیشتر لایه‌های مرزی هیدرودینامیکی و حرارتی مورد توجه قرار داده می‌شوند، ولی باید توجه داشت که لایه مرزی جرم نیز با این روش به آسانی قابل حل است. در مساله حاضر، جریان سیال حول یک جسم متقارن محوری در نظر گرفته می‌شود به طوری که جریان روی صفحه تخت یک حالت خاص از این جریان است. محدودیتهای دیگر مسئله حاضر عبارتند از: جریان دائم است، برگشت جریان وجود ندارد، نیروهای جسمی و تشعشع حرارتی و واکنش شیمیایی وجود ندارد و زاویه حمله خطوط جریان نسبت به محور تقارن به کندی تغییر می‌کند. بعلاوه، روش حل مورد بحث، همانطور که برای جریان مغشوش به کار می‌رود، برای جریان آرام نیز قابل استفاده است. زیرا در جریان مغشوش از مقادیر متوسط زمانی متغیرها استفاده شده و اغتشاش حاصل از اجزای نوسانی جریان به صورت تنشهای برشی مؤثر و فلوهای مؤثر بیان شده است.

## فرمول بندی مساله

شکل ۱ سیستم مختصات مورد استفاده را نشان می‌دهد. معادلات لایه مرزی با استفاده از تابع جریان  $\Psi$  به عنوان یک متغیر عمود بر جریان بیان می‌شوند. طبق تعریف  $\Psi$  در طول یک خط جریان ثابت است، یعنی:

$$d\Psi = \rho r u dy \quad (3)$$

$$\gamma > \frac{\lambda y \ell}{k}, \quad \ell = \lambda y \ell \quad (10)$$

$\lambda$  و  $k$  مقادیر ثابت طول اختلاط بوده و  $\gamma \ell$  یک ضخامت مشخصه لایه است. در ناحیه خیلی نزدیک به دیواره از فرضیه وان در بیست استفاده می‌کنیم:

$$\mu_{\text{eff}} = \mu + \rho k^2 \gamma^2 \left\{ 1 - \exp \left[ -\gamma \sqrt{\tau \rho} / (\mu A^+) \right] \right\}^2 \left| \frac{\partial u}{\partial y} \right| \quad (11)$$

در این رابطه  $\mu$  ویسکوزیته جریان آرام و  $A^+$  یک ثابت تجربی است. کلیه مقادیر ثابت در این دو فرضیه از داده‌های تجربی بدست می‌آیند. یکی از فرضیات ساده‌کننده‌ای که در حل معادلات مورد استفاده قرار گرفت، مربوط به یک بعدی بودن معادلات لایه مرزی در نزدیکی دیوار است. نظر به اهمیت زیاد ناحیه نزدیک دیوار به علت شدت تغییرات متغیرها و با توجه به کاربرد تحلیل کوئت (7 ص 112) که در این ناحیه جریان را یک بعدی در نظر گرفته و از ترم جابجایی ممنتم در جهت  $x$  صرف نظر می‌کند، می‌توان معادلات دیفرانسیل را از شکل پاره‌ای به شکل معمولی در آورده و ساده کرد. در روش حاضر با استفاده از تحلیل کوئت، از فرمولهای ساده شده ناحیه نزدیک دیوار به جای معادلات دیفرانسیل پاره‌ای استفاده شده است (ص 10-19).

### روش حل

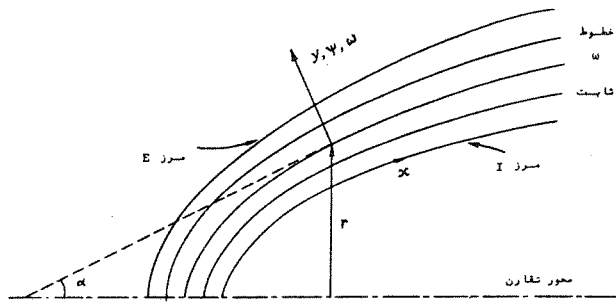
حال که چهارچوب تئوریک مساله، چه در میدان یک بعدی نزدیک دیوار و چه در ناحیه کاملاً" مغشوش، کامل شده است، باید این روابط را بصورت روابط تفاضل محدود در آوریم. ابتدا به انتخاب یک سیستم مختصات مناسب می‌پردازیم.

انتخاب سیستم مختصات در روش تفاضل محدود از اهمیت ویژه‌ای برخوردار است. نظر به طبیعت لایه‌های مرزی که معمولاً با رشد ضخامت همراه است، استفاده از شبکه‌های چهارگوشه در سیستم مختصات متعام دارای معایبی است. زیرا انتخاب چنین شبکه‌هایی ایجاد می‌کند که مقدار زیادی از شبکه در خارج لایه مرزی در بالادست جریان بی‌استفاده باقی بماند، و به این ترتیب زمان محاسبه توسط کامپیوتر افزایش یابد. لذا وضعیت ایده‌آل وقتی است که همواره شبکه و لایه مرزی بر هم منطبق باشند و با به عبارتی متغیر عمود بر جریان هماهنگ با رشد لایه مرزی رشد کند. در این رابطه از تابع جریان بدون بعد استفاده می‌کنیم:

$$\omega = (\Psi - \Psi_1) / (\Psi_E - \Psi_1) \quad (12)$$

در این رابطه  $\Psi_1$  و  $\Psi_E$ ، به ترتیب، معرف مقادیر تابع جریان در مرزهای داخلی و خارجی  $E$  لایه مرزی هستند (شکل 1). ملاحظه می‌شود که مقدار  $\omega$  همواره بین صفر و یک است. با توجه به این انتخاب، معادلات بقا در سیستم مختصات  $x-\omega$  به صورت زیر در می‌آیند (4):

بقای ممنتم:



شکل 1. سیستم مختصات

معادلات بقا در دستگاه مختصات  $x-\omega$  به صورت زیر در می‌آید (4):

$$(4) \text{ بقای ممنتم در جهت } x \quad \frac{\partial u}{\partial x} = \frac{\partial}{\partial \Psi} (\tau r) - \frac{1}{\rho u} \frac{dp}{dx}$$

$$(5) \text{ بقای انرژی در جهت } x \quad \frac{\partial \tilde{h}}{\partial x} = - \frac{\partial}{\partial \Psi} \left\{ (J_h - u\tau) r \right\}$$

در این روابط  $P$  فشار سیال،  $\tau$  تنش برشی موضعی،  $\tilde{h}$  انتالپی سکون و  $J$  انتشار دیفیوژن در واحد سطح در جهت  $y$  را نشان می‌دهند.

اکنون به ارائه مدلی برای ویسکوزیته مؤثر می‌پردازیم. همانطور که ملاحظه می‌شود، کمیاتی مانند تنش برشی و فلوی حرارتی در معادلات بقا ظاهر شده‌اند. در جریان آرام، این کمیات توسط قانون نیوتون (برای ویسکوزیته) و قانون فوریه (برای هدایت حرارتی) بیان می‌شوند. ولی در جریان مغشوش از مقادیر مؤثر با تعاریف زیر استفاده می‌شود:

$$\tau = \mu_{\text{eff}} \left( \frac{\partial u}{\partial y} \right) \quad (6)$$

$$J_h = - \left( \frac{\mu_{\text{eff}}}{\sigma_{h,\text{eff}}} \right) \left( \frac{\partial h}{\partial y} \right) \quad (7)$$

در این روابط،  $\mu_{\text{eff}}$  ویسکوزیته مؤثر و  $\sigma_{h,\text{eff}}$  عدد پرائنتل مؤثر است. مدلی را که برای ویسکوزیته مؤثر انتخاب می‌کنیم ترکیبی است از فرضیه طول اختلاط پرائنتل (3) و فرضیه وان در بیست (8). برای انجام این کار، لایه مرزی مغشوش به دو ناحیه تقسیم می‌شود. در ناحیه کاملاً" مغشوش از فرضیه طول اختلاط پرائنتل استفاده می‌کنیم.

$$\mu_{\text{eff}} = \rho \ell^2 \left| \frac{\partial u}{\partial y} \right| \quad (8)$$

که در اینجا  $\ell$  طول اختلاط است. تغییرات  $\ell$  را طبق بررسی هودیموتو و اسکودیر (4) به شکل زیر در نظر می‌گیریم:

$$0 < \gamma < \frac{\lambda y \ell}{k}, \quad \ell = k\gamma \quad (9)$$

$$\frac{\partial u}{\partial x} + \frac{[r_1 m_1'' + \omega(r_E m_E'' - r_1 m_1'')]}{(\Psi_E - \Psi_1)} \frac{\partial u}{\partial \omega} = \frac{\partial}{\partial \omega} \left[ \frac{r^2 \rho u \mu_{eff}}{(\Psi_E - \Psi_1)^2} \frac{\partial u}{\partial \omega} \right] - \frac{1}{\rho u} \frac{dp}{dx} \quad (13)$$

بقای انرژی:

$$\frac{\partial \bar{h}}{\partial x} + \frac{[r_1 m_1'' + \omega(r_E m_E'' - r_1 m_1'')]}{(\Psi_E - \Psi_1)} \frac{\partial \bar{h}}{\partial \omega} = \frac{\partial}{\partial \omega} \left[ \frac{r^2 \rho u \mu_{eff}}{(\Psi_E - \Psi_1)^2} \sigma_{h,eff} \frac{\partial \bar{h}}{\partial \omega} \right] + \frac{\partial}{\partial \omega} \left[ \frac{r^2 \rho u \mu_{eff}}{(\Psi_E - \Psi_1)^2} \left( 1 - \frac{1}{\sigma_{h,eff}} \right) \frac{\partial \left( \frac{u^2}{2} \right)}{\partial \omega} \right] \quad (14)$$

سه‌موی در نظر گرفته می‌شود) می‌توان فرمولی عملی برای محاسبه "m از مرز آزاد به دست آورد. اطلاعات بیشتر در این زمینه در مرجع (۴) موجود است.

نکته دیگر، انتخاب مقدار پیشروی در هر مرحله است. طبیعت ضمنی بودن روش مورد استفاده می‌تواند پایداری حل را تضمین کند، یعنی حتی برای قدمهای بزرگ اشکالی پیش نمی‌آورد. ولی به هر صورت کوچک گرفتن قدمها در حد معقول می‌تواند دقت حل را افزایش دهد. انتخاب مقدار پیشروی در هر مرحله برای جریان آرام و مغشوش متفاوت است. در جریان مغشوش این مقدار متناسب با "m از مرز آزاد در نظر گرفته شد، چون با کم شدن "m در هر مرحله می‌توان قدم بعدی را بزرگتر انتخاب کرد:

$$X_D - X_U = 0.5 \delta^2 \quad \text{برای جریان آرام:}$$

و برای جریان مغشوش:  $X_D - X_U = 0.05(\Psi_E - \Psi_1)_U / (r_1 m_1'' - r_E m_E'')$  همچنین لازم به ذکر است که برنامه کامپیوتری مورد استفاده به زبان بیسیک نوشته و در کامپیوترهای شخصی آی.بی.ام. (IBM PC) و یا هر نوع کامپیوتر سازگار با آن قابل اجرا است. یک اجرای نمونه برنامه حدود ۲۰ دقیقه به طول می‌انجامد. برنامه کامل کامپیوتری در مرجع (۱) موجود است.

### نتایج

برمبنای روش حلی که شرح آن گذشت، یک برنامه کامپیوتری تهیه شد که قادر است جریانهای لایه مرزی آرام و مغشوش سیال را حول یک جسم متقارن محوری حل نموده و توزیع سرعت و دما را به دست آورد. برای سهولت، بر جریان روی صفحه تخت تاءکید بیشتری شده است. برای نشان دادن توانایی برنامه حاضر، جریان لایه مرزی آرام و مغشوش در چند مثال نمونه مورد بررسی قرار گرفتند که اکنون جداگانه به شرح هر کدام می‌پردازیم.

#### الف - لایه مرزی آرام

با وجود این که حل دقیق لایه مرزی آرام وجود دارد، در اینجا سعی شده است که با استفاده از روش حاضر این مسئله را حل کرده و نتایج را با یکدیگر مقایسه کنیم تا توانایی این روش برای حل لایه مرزی آرام نیز آشکار شود. نخست لایه مرزی هیدرودینامیکی آرام روی صفحه تخت مورد نظر قرار گرفت. این انتخاب به این دلیل انجام

در این روابط  $m_E''$  و  $m_1''$  دبی جرمی عبوری از سطحهای ا و E می‌باشند. معادلات (۱۳) و (۱۴) دارای شکل کلی زیر هستند:

$$\frac{\partial \phi}{\partial x} + (a + b\omega) \frac{\partial \phi}{\partial \omega} = \frac{\partial}{\partial \omega} \left( c \frac{\partial \phi}{\partial \omega} \right) + d \quad (15)$$

در اینجا  $\phi$  یک متغیر کلی است و d عبارتی است که شامل  $\frac{\partial \phi}{\partial \omega}$  نیست. مرحله بعدی در حل مسئله این است که معادله دیفرانسیل پاره‌ای را به شکل تفاضل محدود نوشته و آن را با روش انتگرال گیری قدم به قدم حل کنیم. در این روش در هر مرحله انتگرال گیری، مقادیر  $\phi$  بالادست ( $X_U$ ) و به ازای تمام مقادیر  $\omega$  معلوم است و باید مقادیر  $\phi$  در قدم بعدی ( $X_D$ ) محاسبه شوند و به این ترتیب، حل معادلات مرحله به مرحله پیش‌رفته تا تمام قلمرو حل تحت پوشش قرار گیرد (۱ ص ۲۳-۲۹).

بعد از آن که تمام عبارات معادله دیفرانسیل بطور جداگانه به شکل تفاضل محدود درآمد، معادله کلی تفاضل را می‌توان به شکل ساده زیر نوشت (۴):

$$\phi_D = A \phi_{D+} + B \phi_{D-} + C \quad (16)$$

ضرائب A، B و C در مرجع (ص ۲۸) داده شده است. اکنون یک سری معادلات جبری خطی داریم که باید حل شوند. این معادلات دارای یک مشخصه ویژه هستند و آن این است که در هر معادله فقط سه مجهول ظاهر می‌شود. از اینرو می‌توان به جای تکنیک ماتریس وارون و نظایر آن از روش جانشینی پی‌درپی ۴ استفاده کرد.

در اینجا ذکر چند نکته در مورد طرز کنترل شبکه لازم به نظر می‌رسد. مقادیر  $M_E''$  و  $m_E''$  یعنی دبیهای جذب شده به داخل لایه مرزی، از لحاظ فیزیکی ضخامت شبکه را کنترل می‌کنند. در مورد مرز دیوار و مرز خط تقارن مشکلی برای محاسبه "m وجود ندارد. فقط در مورد مرز آزاد دقت بیشتری لازم است. با توجه به فرضیه طول اختلاط برانتل می‌توان رابطه زیر را برای مرز آزاد نتیجه گرفت (۴):

$$m'' = 2\rho x^2 \left| \frac{\partial^2 u}{\partial y^2} \right| \quad (17)$$

حال با انتخاب یک پروفیل سرعت در مجاورت مرز آزاد (که معمولاً

همانطور که ملاحظه می‌شود تطابق حلها بسیار خوب است. باید توجه داشت که روش حل حاضر از نوع تشابهی ۵ نبوده است، با این حال مشاهده می‌گردد که در مقاطع مختلف با حل بلازیوس کاملاً موافق است.

اثر گرادیان فشار بر رشد لایه مرزی آرام و تاءثیر آن بر پروفیل‌های سرعت در شکلهای ۴ و ۵ نشان داده شده است. همانطور که انتظار می‌رود، جریان با گرادیان فشار منفی باعث متراکم شدن لایه مرزی و پایداری هر چه بیشتر آن می‌گردد، در حالی که جریان با گرادیان فشار مثبت به جدائی جریان منجر می‌شود. در شکل ۵ نقطه جدائی که در آن تنش برشی روی دیواره صفر است به‌وضوح دیده می‌شود. روش حاضر، بعد از نقطه جدائی جریان را پیش‌بینی نمی‌کند، زیرا اصولاً "جدائی جریان در تعریف لایه مرزی نمی‌گنجد. نکته قابل توجه دیگر در این دو شکل روند کاهش تنش برشی روی دیواره است. در جریان با گرادیان فشار منفی (شکل ۴) ملاحظه می‌گردد که کاهش تنش برشی دیواره به‌کندی صورت می‌گیرد که این خود نشان‌دهنده تغییرات آهسته پروفیل سرعت در این لایه است. در صورتی که تنش برشی در جریان با گرادیان فشار مثبت به‌سرعت به‌صفر می‌رسد و نشان می‌دهد که تغییرات پروفیل سرعت در مقاطع مختلف سریع است.

شکل ۶ تبدیل لایه مرزی آرام به‌مغشوش را روی صفحه تخت با گرادیان فشار صفر نشان می‌دهد. لازم به توضیح است که در روند تبدیل لایه مرزی آرام به‌مغشوش، جریان باید از یک حالت انتقالی ۶

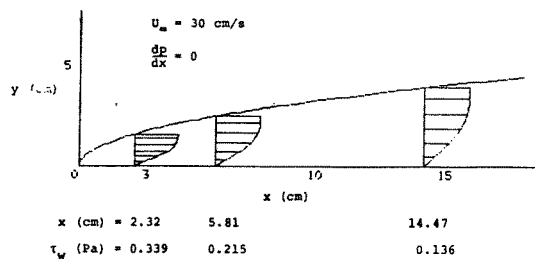
گرفت که حل دقیق بلازیوس در این مورد در دسترس بود. شکل ۲ پروفیل سرعت و رشد لایه مرزی آرام را در این حالت نشان می‌دهد و در چند مقطع دلخواه تنش برشی روی دیواره محاسبه شده است. در این حالت، پروفیل ابتدایی سرعت به‌صورت زیر تقریب زده شد.

$$\frac{u}{U_{\infty}} = \frac{1}{3} \left(\frac{y}{\delta}\right) - \frac{1}{2} \left(\frac{y}{\delta}\right)^3 \quad (18)$$

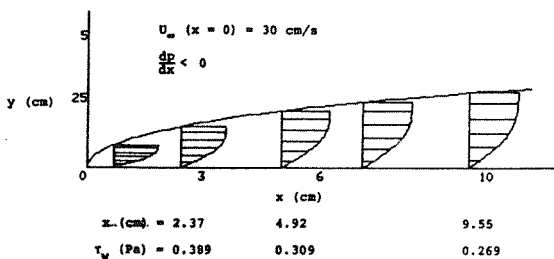
نکته جالب توجه در این حالت این است که حل مساله به‌انتخاب پروفیل ابتدایی سرعت حساسیت ندارد، یعنی با تغییر دادن آن به صورت خطی  $(\frac{u}{U_{\infty}} = \frac{y}{\delta})$  و یا بی‌نهایت نزدیک کردن آن به لایه ابتدایی صفحه، جوابها در پائین دست تقریباً ثابت می‌مانند. این موضوع باعث شد که در جریانهایی که دارای گرادیان فشار هستند بدون هیچ شک و اضطرابی از همین پروفیل‌ها به‌عنوان پروفیل ابتدایی استفاده کنیم.

در شکل ۳، نتایج حاضر (از شکل ۲) با حل دقیق بلازیوس (۷) مقایسه شده است. پارامترهای بکار رفته در شکل عبارتند از:

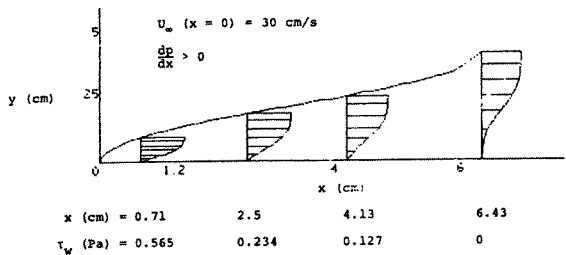
$$f' = \frac{u}{U_{\infty}}, \quad f'' = \frac{\tau}{\mu U_{\infty}} \sqrt{\frac{2\nu x}{U_{\infty}}}, \quad \eta = \nu \sqrt{\frac{U_{\infty}}{2\nu x}} \quad (19)$$



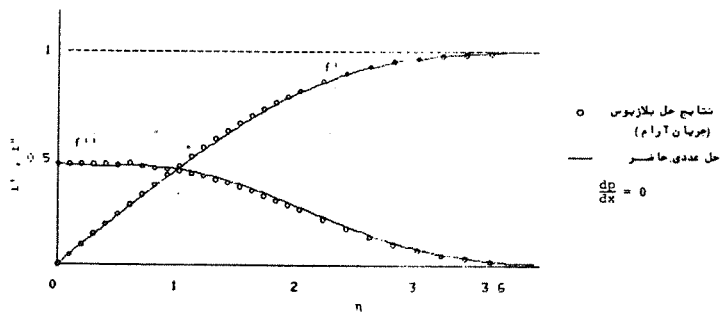
شکل ۲. پروفیل سرعت در لایه مرزی آرام روی صفحه تخت



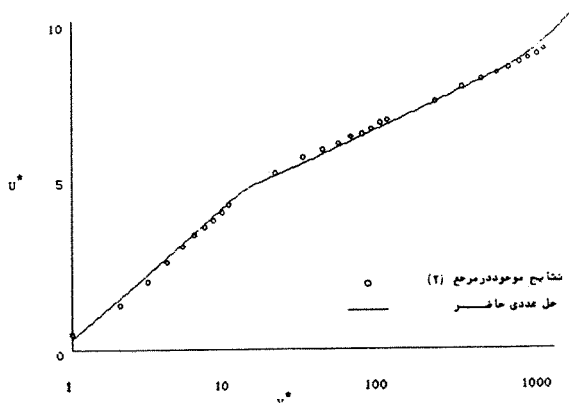
شکل ۴. لایه مرزی آرام با گرادیان فشار منفی



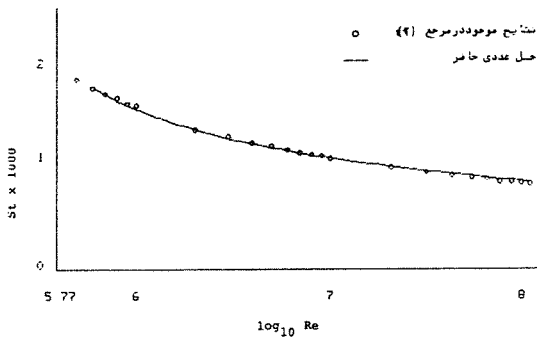
شکل ۵. لایه مرزی آرام با گرادیان فشار مثبت



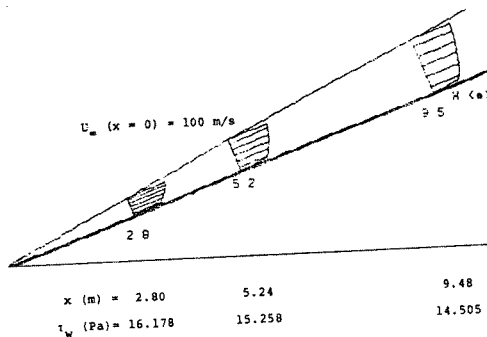
شکل ۳. مقایسه بین حل دقیق بلازیوس و حل عددی حاضر



شکل ۸. مقایسه‌ای بین حل عددی حاضر و نتایج موجود در مرجع (۲)

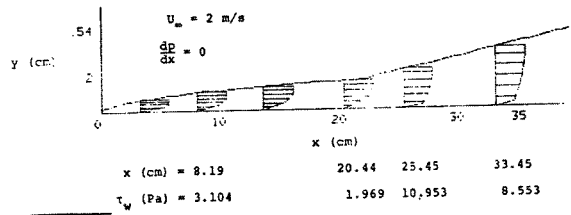


شکل ۹. عدد استانتون روی دیواره برحسب عدد رینولدز



شکل ۱۰. لایه مرزی مغشوش روی جسم متقارن محوری

به صورت عدد استانتون  $(St = \frac{h}{\rho u C_p})$  برحسب عدد رینولدز  $(Re = \frac{\rho u x}{\mu})$  در شکل ۹ رسم شده است. مقایسه نتایج حاضر با نتایج مرجع (۴) دقت محاسبات انجام شده را به خوبی نشان می‌دهد. و بالاخره در شکل ۱۰ لایه مرزی مغشوش روی جسم متقارن محوری، که در این جا یک مخروط با زاویه  $40^\circ$  در نظر گرفته شده، بررسی شده است. این فیصل مسائل معمولاً با گرادیان فشار همراه است که از جریان ایده‌آل خارج لایه مرزی حاصل می‌شود. برای جریان ایده‌آل در اطراف یک مخروط  $40^\circ$  درجه،  $U_{\infty} = Cx^n$  است که در آن  $n = 0.125$  است (۷).



شکل ۶. تبدیل لایه مرزی آرام به مغشوش

عبور کند. اما پیش‌بینی رفتار جریان در حالت انتقالی بسیار مشکل بوده و از توان روش حاضر خارج است. لذا از حالت انتقالی کلا صرف‌نظر شد و فرض کردیم که در یک مقطع معین جریان دفعتاً از حالت آرام به مغشوش تبدیل می‌شود.

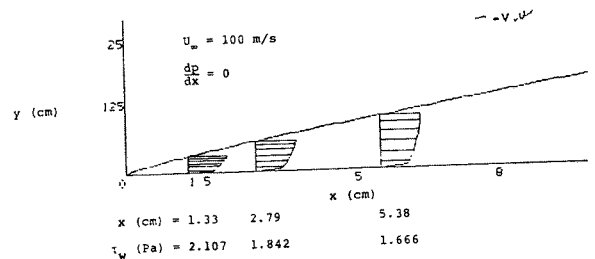
### ب- لایه مرزی مغشوش

نخست لایه مرزی هیدرودینامیکی مغشوش روی صفحه تخت با گرادیان فشار صفر در نظر گرفته شده است. در این حالت از پروفیل معروف  $\frac{1}{\sqrt{y}}$  به عنوان پروفیل ابتدایی سرعت استفاده شده است و فرض شده است که از ابتدای صفحه جریان مغشوش است. برای این که این فرض به واقعیت نزدیکتر باشد از سیال هوا در سرعت بالا استفاده شده است تا طول لایه مرزی آرام به حداقل برسد. شکل ۷ پروفیل سرعت را در این حالت نشان می‌دهد و در چند مقطع دلخواه، تنش برشی روی دیواره نیز محاسبه شده است. در شکل ۸ مقایسه‌ای بین حل حاضر و آنچه در مرجع (۴) بدست آمده صورت گرفته است. در این شکل  $u^*$  برحسب  $y^*$  رسم شده که تعریف آنها به صورت زیر است:

$$u^* = Ku / \sqrt{\frac{\tau_s}{\rho}} \quad y^* = ky \sqrt{\frac{\tau_s \rho}{\mu}} \quad (20)$$

ملاحظه می‌گردد که در این جا نیز تطابق قابل قبول است.

حال همین مسئله را وقتی که از صفحه انتقال حرارت هم صورت می‌گیرد مورد توجه قرار می‌دهیم. در این حالت فرض شده که دمای دیواره ثابت و دوبرابر دمای سیال آزاد است. نتایج بدست آمده



شکل ۷. پروفیل سرعت در لایه مرزی مغشوش

## نتیجه‌گیری

روش عددی که شرح آن گذشت قادر است حل لایه‌های مرزی هیدرودینامیکی و حرارتی در جریان آرام و مغشوش در اطراف اجسام متقارن محوری را بدست‌آورد. در حالی که نتایج ارائه شده به لایه‌های مرزی هیدرودینامیکی و حرارتی محدود شد، روش حل حاضر به نحوی است که به سهولت می‌توان لایه مرزی انتقال جرم را نیز مورد بررسی قرار دهد.

برای نشان دادن توان روش حاضر، حل جریان آرام و مغشوش روی صفحه تخت به دست‌آمد و با نتایج دقیق تحلیلی و عددی موجود مقایسه شد. نزدیکی این نتایج به یکدیگر، دقت محاسبات حاضر را مورد تأیید قرار داد.

نظر به این که جریان در اطراف اجسام متقارن محوری از تنوع بیشتری برخوردار است، برای کاهش پارامترها و سهولت در ارائه نتایج، تنها به ذکر نتایج مربوط به جریان لایه مرزی در اطراف یک مخروط ۴۰ درجه پرداختیم. برنامه جامع کامپیوتری به طرز کامل در مرجع (۱) آمده است و می‌توان به کمک آن جریان در اطراف هر نوع دماغه متقارن محوری را محاسبه کرد.

## منابع :

- ۱- پایان‌نامه کارشناسی ارشد، شیروی - امیرحسین، "حل لایه مرزی هیدرودینامیکی و حرارتی به کمک کامپیوتر"، شهریورماه ۱۳۶۸.
2. Fox, R.W., Introduction to Fluid Mechanics (2nd edn.), John Wiley & Sons, 1978.
3. Kays, W.M., Convective Heat and Mass Transfer (2nd edn.), McGraw-Hill, 1980.
4. Patankar, S.V., Heat and Mass Transfer in Boundary Layers (1st edn.), Morgan-Grampian, London, 1967.
5. Patankar, S.V., Computation of Boundary Layer Flows, Class Notes, University of Minnesota, Spring 1981.
6. Schlichting, H., Boundary Layer Theory (7th edn.), McGraw-Hill, 1987.
7. White, F.M., Viscous Fluid Flow (1st edn.), McGraw-Hill, 1974.
8. Van Driest, E.R., J' Aeronautical Sciences, Vol. 23, 1956, p. 1007.

## پاورقی :

1. Prandtl mixing - length theory
2. Van Driest hypothesis
3. Marching integration
4. Successive substitution
5. Similarity solution
6. Transition